

Supporting Online Material

For

Stability of domain structures in multi-domain proteins

Ramachandra M. Bhaskara¹ & N. Srinivasan^{1*}

¹*Molecular Biophysics Unit, Indian Institute of Science, Bangalore 560012, India.*

*To whom correspondence should be addressed. E-mail: ns@mbu.iisc.ernet.in (N.S.)

This PDF file includes:

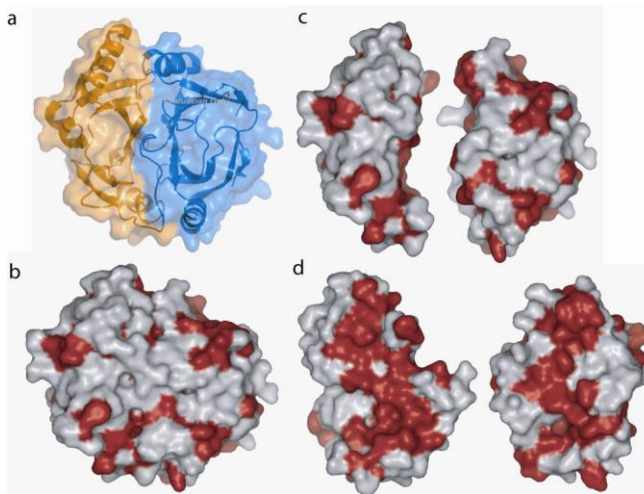
Supplementary Figure(S) S1-S4 with legends

Supplementary Table S1

Supplementary Dataset(s)

Supplementary References

Supplementary Figure(s).

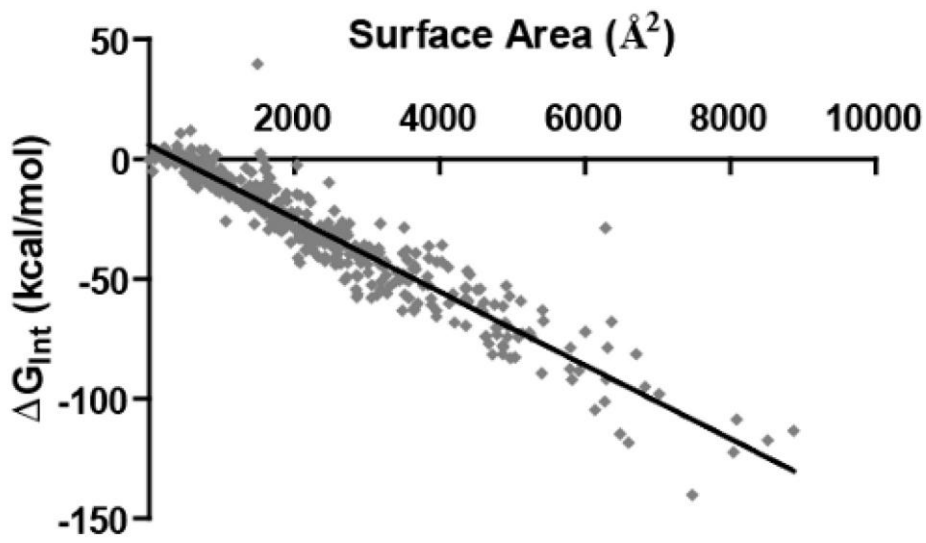


Supplementary Figure-S1 Srinivasan

Supplementary Figure S1

Stability and folding of a representative multi-domain enzyme (Dioxygenase, Bhpc). a.

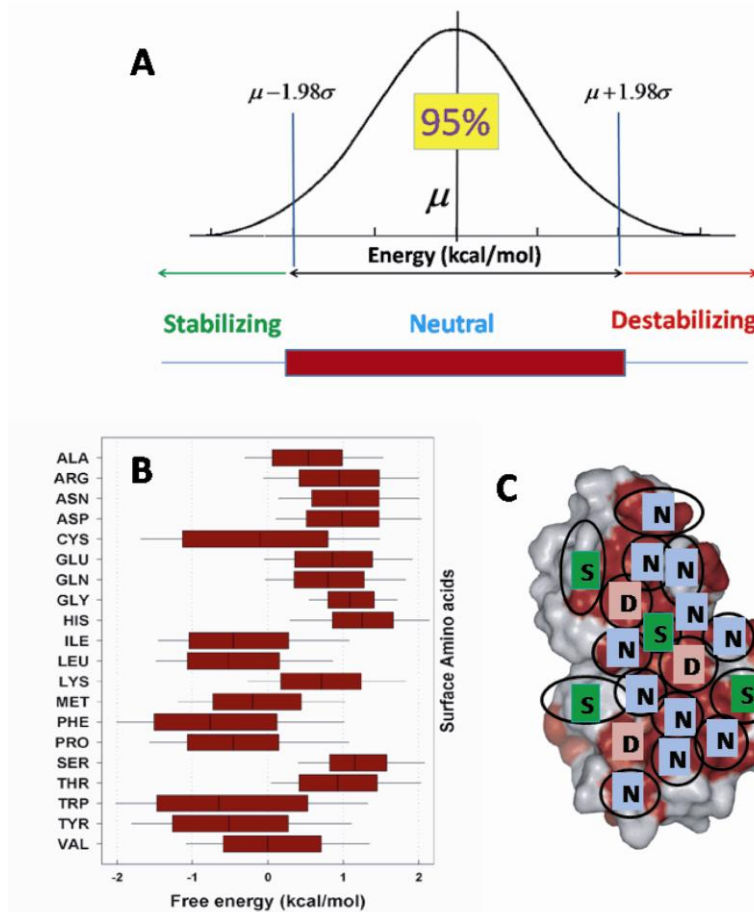
Ribbon diagram showing the topology of the two interacting domains. **b.** Surface representation of the same showing the apolar residues (Red). **c.** The artificial (in silico) parsing of the full length protein into two isolated domains. These isolated domains were used for free energy computations. Their stabilities are -16 kcal/mol (Domain 1) and 2 kcal/mol (Domain 2). **d.** 90° rotation of the two domains showing the exposed hydrophobic patch. Hydrophobic bonding at the domain-domain interface holds the domains together. Apolar solvation energy of -54 kcal/mol contributes maximally towards the overall stability of -80 Kcal/mol.



Supplementary Figure-S2 Srinivasan

Supplementary Figure S2

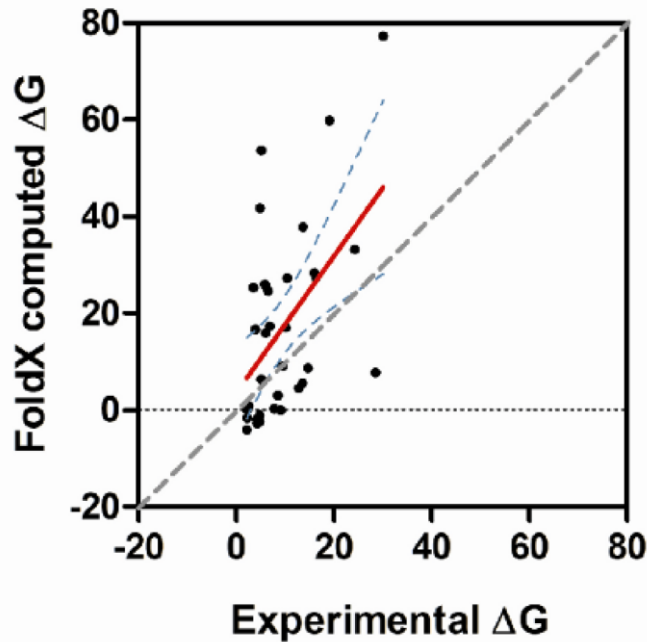
Interaction free energy as a function of interacting surface area. Scatter plot showing the linear relationship between the surface area of interaction and the FoldX computed interaction free energy (ΔG_{Int}) for a set of 268 obligate protein-protein complexes. Red line shows the best fit line in linear regression analysis: $r^2 = 0.6971$; $P < 0.0001$; $\Delta G_{\text{Int}} = -0.01274 * \text{SA} + 1.426$.



Supplenentry Figure-S3 Srinivasan

Supplementary Figure S3

Schematic representation of classification of domain-domain interfacial residues. **a.** Computation of distribution of the free energy contribution of a typical surface residue of a single residue type. e.g. Alanine Showing the cutoff limits for the classification into the three categories. **b.** The computation of the distribution parameters (μ and s.d.) for all the 20 amino acids. The red bar shows the neutral zone with the mean at the center for the free energy contribution of surface residues. The lines extending the distribution are beyond the 95% confidence limits. **c.** Each interfacial residue from the MD_doms dataset was compared against the B and classified into one of the three categories. Shown is a representative example of interface of domain-1 of the BhpC enzyme. The Stabilizing residues are marked by the green squares with "S", the neutral residues are marked by blue squares with "N" and the destabilizing residues are marked by light red squares with "D".



Supplementary Figure-S4 Srinivasan

Supplementary Figure S4

Benchmarking FoldX computations. Correlation between experimentally determined and FoldX computed free energies of unfolding for a set of 35 proteins. Spearman rank correlation $r = 0.5679$; $P = 0.0004$. Red line represents best fit by linear regression. Blue dashed line indicates the 95% confidence limit. These proteins were selected as they were monomeric and showed two state unfolding at 298K and pH 7.0. The experimental unfolding free energies were obtained from Protherm database. The correlation shows that the FoldX computed values cannot be taken as absolute but are good for relative comparisons.

Supplementary Table S1 Srinivasan.

Supplementary Table S1. Natural variations (nsSNPs ; $n = 33$) in the interfaces of multi-domain proteins. The following table lists the nsSNPs found in the domain-domain interface of human proteins ($n = 14$). The improper functioning of these proteins have been implicated in various disease states. The effect of the nsSNP on the stability of the protein is computed by modelling the structure of the variant amino-acid and computing the $\Delta\Delta G$ using FoldX. The relative conservation of the site, the solvent accessibility and the functional relavence (Ligand binding) are also provided. The direct involvement of the nsSNP ($n = 9$) in producing a non-functional protein and leading to disease state is shown by referring to pubmed id (PMID). The bold SNPs refer to change of a non-polar interfacial residue to a polar residue. The bold $\Delta\Delta G$ values (>1 kcal/mol) correspond to considerable destabilization of the structure to affect function. Note that the SNPs at residues participating in stabilization of the interface (See Supplementary Fig. S3online) lead to a larger destabilization effect.

Protein	PDB	SNPdb id	SNP	Solv Ac (%)	Conservation (%)	$\Delta\Delta G$ (kcal/ mol)	Ligand Binding	nsSNP Validation	Diseases associated with /PMID
hematopoietic prostaglandin D synthase	1iyh	rs56161897	F151L	0	0.16	1.55	---	---	Delayed type hypersensitivity
immunoglobulin lambda-like polypeptide 1	1l6x	rs11557948	Y436C	0.19	0.01	1.25	---	---	Agammaglobulinemia 2
immunoglobulin lambda-like polypeptide 1	1l6x	rs15893	E430K	0.15	0.18	-1.47	---	---	Agammaglobulinemia 2
sex comb on midleg- like 2 (Drosophila)	1oi1	rs73454384	I224V	0	0.66	0.83	---	---	Nil
tocopherol (alpha)	1oip	rs28936369	R192H	0.31	0.12	-0.5	---	8602747	Ataxia, Friedreich-like, with Isolated

								(1)	vitamin E deficiency
transfer protein									
FK506 binding protein 4	1q1c	rs1062478	R157H	0.42	0.51	-0.09	---	---	Associated with Refsum disease
acyl-CoA dehydrogenase family, member 8	1rx0	rs11550637	F87L	0	0.33	1.35	---	---	isobutyryl-CoA dehydrogenase (IBD) deficiency
acyl-CoA dehydrogenase family, member 8	1rx0	rs7483314	L375V	0.28	0.07	1.02	FAD	---	isobutyryl-CoA dehydrogenase (IBD) deficiency
breast cancer 1, early onset	1t15	rs1800757	P1776S	0.54	0.15	1.1	---	(3)	17063491 (2), 17719744 Breast-Ovarian cancer, familial, susceptibility
breast cancer 1, early onset	1t15	rs28897696	A1708E	0	0.19	11.56	---	(3)	17063491 (2), 17719744 Breast-Ovarian cancer, familial, susceptibility
breast cancer 1, early onset	1t15	rs41293459	R1699Q	0	0.11	2.09	---	(3)	17719744 Breast-Ovarian cancer, familial, susceptibility
breast cancer 1, early onset	1t15	rs41293463	M1775R	0.02	0.21	4.41	---	(3)	17063491 (2), 17719744 Breast-Ovarian cancer, familial, susceptibility
breast cancer 1, early onset	1t15	rs55770810	R1669W	0	0.11	2.65	---	(3)	17719744 Breast-Ovarian cancer, familial, susceptibility
breast cancer 1, early	1t15	rs55808233	M1783T	0	0.41	4.01	---	17719744	Breast-Ovarian cancer, familial,

onset							(3)	suseptibility
polo-like kinase 1 (Drosophila)	1umw	rs34359215	R581C	0.47	0.33	0.45	---	---
polo-like kinase 1 (Drosophila)	1umw	rs35347525	R441H	0.19	0.41	1.61	---	---
glutathione S-transferase omega 1	1eem	rs11509436	S86C	0.04	0.05	-0.34	GSH	---
glutathione S-transferase omega 1	1eem	rs11509439	A236V	0	0.01	4.85	---	---
glutathione S-transferase omega 1	1eem	rs15032	T217N	0.24	0.03	0.12	---	---
glutathione S-transferase omega 1	1eem	rs45529437	C32Y	0.11	0.18	-1.06	GSH	---
glutathione S-transferase omega 1	1eem	rs72559704	R7K	0.58	0	-0.08	---	---
hydroxyacyl-CoA dehydrogenase	1f0y	rs1051519	Q140H	0.53	0.09	0.48	---	---
Fc fragment-IgG,low affinity IIa,recep(CD32)	1fcg	rs4986941	M107V	0.54	0.18	0.54	---	---
Fc fragment-IgG,low affinity IIIb,recep(CD16b)	1fnl	rs2290834	I88V	0.72	0.63	0.2	---	---
Fc fragment-IgG,low affinity	1fnl	rs403016	S18R	0.02	0.04	-1.9	---	2478590 (4)
								Lupus Nephritis, Inflammatory Bowel Disease

IIIb,recep(CD16b)									
glutathione S-transferase alpha 1	1gse	rs1051558	F10S	0.07	0.25	1.89	EAA	---	Warfarin sensitivity
glutathione S-transferase alpha 1	1gse	rs1051566	A12T	0.08	0.06	0.95	EAA	---	Warfarin sensitivity
glutathione S-transferase alpha 1	1gse	rs1051573	A12V	0.08	0.06	1.26	EAA	---	Warfarin sensitivity
glutathione S-transferase alpha 1	1gse	rs1051983	A216S	0.02	0.02	0.67	EAA	---	Warfarin sensitivity
glutathione S-transferase alpha 1	1gse	rs1131849	R89K	0.08	0.43	-0.27	---	---	Warfarin sensitivity
glutathione S-transferase pi 1	11gs	rs45549733	R186W	0.29	0.14	0.74	---	---	Chemotherapy-induced carcinogenesis, acute myeloid leukemia
glutathione S-transferase pi 1	11gs	rs1695	I104V	0.28	0.1	0.76	EAA	(5)	9092542 Cancer, Xenobiotics
glutathione S-transferase pi 1	11gs	rs71534294	D157H	0.02	0.35	-0.18	---	---	Cancer, Xenobiotics

Supplementary Datasets:

Datasets used in the current analysis of Single and Multi-domain proteins.

MD_doms (856) : Astral domains of Multi-domain proteins; SCOP version 1.75

```
d1lgsa1, d1lgsa2, d1a4ib1, d1a4ib2, d1a8d_1, d1a8d_2, d1a8h_1, d1a8h_2,
d1a8l_1, d1a8l_2, d1a8p_1, d1a8p_2, d1abwai, d1abwaa, d1af0a1, d1af0a2,
d1af7_1, d1af7_2, d1afa11, d1afa12, d1afwb1, d1afwb2, d1ak1_1, d1ak1_2,
d1amm_1, d1amm_2, d1aqh_1, d1aqh_2, d1aqkl11, d1aqkl12, d1avaa1, d1avaa2,
d1aw7a1, d1aw7a2, d1b0na1, d1b0na2, d1b1ba1, d1b1ba2, d1b2ra1, d1b2ra2,
d1b3bc1, d1b3bc2, d1b43a1, d1b43a2, d1b71a1, d1b71a2, d1b8aa1, d1b8aa2,
d1b8pa1, d1b8pa2, d1b9ka1, d1b9ka2, d1b9wa1, d1b9wa2, d1bg0_1, d1bg0_2,
d1bgval, d1bgva2, d1bhatal, d1bhta2, d1bif_1, d1bif_2, d1bli_1, d1bli_2,
d1bqub1, d1bqub2, d1bw9a1, d1bw9a2, d1c1aa1, d1c1aa2, d1c1el1, d1c1el2,
d1c2aa1, d1c2aa2, d1c5ka1, d1c5ka2, d1c8ua1, d1c8ua2, d1c9ya1, d1c9ya2,
d1ca1_1, d1ca1_2, d1cb6a1, d1cb6a2, d1cczal, d1ccza2, d1cdy_1, d1cdy_2,
d1cf9a1, d1cf9a2, d1cfb_1, d1cfb_2, d1chma1, d1chma2, d1cjdb1, d1cjdb2,
d1clc_1, d1clc_2, d1coja1, d1coja2, d1cpo_1, d1cpo_2, d1cuna1, d1cuna2,
d1cvral, d1cvra2, d1czya1, d1czya2, d1d2oa1, d1d2oa2, d1dd3a1, d1dd3a2,
d1dfx_1, d1dfx_2, d1dhka1, d1dhka2, d1dkxa1, d1dkxa2, d1dl5a1, d1dl5a2,
d1dmr_1, d1dmr_2, d1duga1, d1duga2, d1duvg1, d1duvg2, d1duza1, d1duza2,
d1dvpa1, d1dvpa2, d1dxrh1, d1dxrh2, d1dyka1, d1dyka2, d1dyqa1, d1dyqa2,
d1dzfa1, d1dzfa2, d1e1ca1, d1e1ca2, d1e1cb1, d1e1cb2, d1e3oc1, d1e3oc2,
d1e42a1, d1e42a2, d1e5ta1, d1e5ta2, d1e7la1, d1e7la2, d1eara1, d1eara2,
d1eb0a1, d1eb0a2, d1ebha1, d1ebha2, d1ec9d1, d1ec9d2, d1ecfa1, d1ecfa2,
d1ecfb1, d1ecfb2, d1edha1, d1edha2, d1eejal, d1eeja2, d1leema1, d1leema2,
d1eerb1, d1eerb2, d1eg9a1, d1eg9a2, d1ehda1, d1ehda2, d1eila1, d1eila2,
d1ek4a1, d1ek4a2, d1ekxa1, d1ekxa2, d1emd_1, d1emd_2, d1enfa1, d1enfa2,
d1epfa1, d1epfa2, d1epfb1, d1epfb2, d1esl_1, d1esl_2, d1eu3a1, d1eu3a2,
d1evkai, d1evka2, d1ewcal, d1ewca2, d1ewfal, d1ewfa2, d1f0ya1, d1f0ya2,
d1f1bb1, d1f1bb2, d1f1ha1, d1f1ha2, d1f1ral, d1f1ra2, d1f1ua1, d1f1ua2,
d1f20a1, d1f20a2, d1f8ab1, d1f8ab2, d1fcgal, d1fcga2, d1fnla1, d1fnla2,
d1fnual, d1fnua2, d1fp2a1, d1fp2a2, d1fpao1, d1fpao2, d1ftra1, d1ftra2,
d1fv1b1, d1fv1b2, d1fw1a1, d1fw1a2, d1fx1a1, d1fx1a2, d1g1qa1, d1g1qa2,
d1g38a1, d1g38a2, d1g5aa1, d1g5aa2, d1g6la1, d1g6la2, d1g87b1, d1g87b2,
d1g8ka1, d1g8ka2, d1g97a1, d1g97a2, d1giqa1, d1giqa2, d1gl4a1, d1gl4a2,
d1glpa1, d1glpa2, d1gmua1, d1gmua2, d1gmuc1, d1gmuc2, d1gqia1, d1gqia2,
d1gqza1, d1gqza2, d1gsa_1, d1gsa_2, d1gseal, d1gsea2, d1gsma1, d1gsma2,
d1gupal, d1gupa2, d1gv2a1, d1gv2a2, d1gv3a1, d1gv3a2, d1h03p1, d1h03p2,
d1h1oa1, d1h1oa2, d1h1pb1, d1h1pb2, d1h6ta1, d1h6ta2, d1h72c1, d1h72c2,
d1h8pa1, d1h8pa2, d1h9ra1, d1h9ra2, d1hbmb1, d1hbmb2, d1hf8a1, d1hf8a2,
d1hfe11, d1hfe12, d1hm9a1, d1hm9a2, d1hna_1, d1hna_2, d1hpua1, d1hpua2,
d1ht6a1, d1ht6a2, d1hw1a1, d1hw1a2, d1hw5a1, d1hw5a2, d1hx6b1, d1hx6b2,
d1hyob1, d1hyob2, d1i1aa1, d1i1aa2, d1i1ga1, d1i1ga2, d1i7na1, d1i7na2,
d1i7pa1, d1i7pa2, d1i8da1, d1i8da2, d1ig0a1, d1ig0a2, d1ig0b1, d1ig0b2,
d1ig3a1, d1ig3a2, d1ihga1, d1ihga2, d1ii2a1, d1ii2a2, d1iow_1, d1iow_2,
d1iqca1, d1iqca2, d1iszal, d1isz2, d1itkb1, d1itkb2, d1iyhal, d1iyha2,
d1iz4a1, d1iz4a2, d1iz6a1, d1iz6a2, d1iz9a1, d1iz9a2, d1j09a1, d1j09a2,
```

d1j11a1, d1j11a2, d1j3na1, d1j3na2, d1j8mf1, d1j8mf2, d1jaka1, d1jaka2,
 d1jdc_1, d1jdc_2, d1jfla1, d1jfla2, d1jhda1, d1jhda2, d1jhfa1, d1jhfa2,
 d1jlval, d1jlva2, d1jpna1, d1jpna2, d1js1x1, d1js1x2, d1js4a1, d1js4a2,
 d1ju3a1, d1ju3a2, d1k0ma1, d1k0ma2, d1k0mb1, d1k0mb2, d1k8kd1, d1k8kd2,
 d1k8wa3, d1k8wa5, d1k92a1, d1k92a2, d1kbval, d1kbva2, d1khia1, d1khia2,
 d1kkcx1, d1kkcx2, d1klua1, d1klua2, d1klub1, d1klub2, d1kqfb1, d1kqfb2,
 d1ks9a1, d1ks9a2, d1ktba1, d1ktba2, d1kv9a1, d1kv9a2, d1kwma1, d1kwma2,
 d1ky6a1, d1ky6a2, d1kzqa1, d1kzqa2, d111fb1, d111fb2, d113ka1, d113ka2,
 d113sa1, d113sa2, d116xa1, d116xa2, d117ra1, d117ra2, d11lam_1, d11lam_2,
 d1laral, d1lara2, d1lbu_1, d1lbu_2, d1li1a1, d1li1a2, d1llda1, d1llda2,
 d1lr7a1, d1lr7a2, d1lsla1, d1lsla2, d1lu9a1, d1lu9a2, d1ly2a1, d1ly2a2,
 d1m0ual, d1m0ua2, d1m1je1, d1m1je2, d1m1kg1, d1m1kg2, d1m1ta1, d1m1ta2,
 d1m2tb1, d1m2tb2, d1m3ya1, d1m3ya2, d1m5ha1, d1m5ha2, d1m6za1, d1m6za2,
 d1mdl_1, d1mdl_2, d1mgta1, d1mgta2, d1mixa1, d1mixa2, d1mlda1, d1mlda2,
 d1mp9a1, d1mp9a2, d1mpga1, d1mpga2, d1ms5a1, d1ms5a2, d1mxda1, d1mxda2,
 d1mzya1, d1mzya2, d1n1ea1, d1n1ea2, d1n1ic1, d1n1ic2, d1n1sa1, d1n1sa2,
 d1n2aa1, d1n2aa2, d1n5wa1, d1n5wa2, d1n5wb1, d1n5wb2, d1n5wc1, d1n5wc2,
 d1n63b1, d1n63b2, d1n67a1, d1n67a2, d1ne9a1, d1ne9a2, d1nija1, d1nija2,
 d1nkr_1, d1nkr_2, d1nm8a1, d1nm8a2, d1np3a1, d1np3a2, d1np7a1, d1np7a2,
 d1npya1, d1npya2, d1npyb1, d1npyb2, d1nr0a1, d1nr0a2, d1nty1, d1nty2,
 d1nu5a1, d1nu5a2, d1nvma1, d1nvma2, d1nyta1, d1nyta2, d1nzoa1, d1nzoa2,
 d1o0sa1, d1o0sa2, d1o0wa1, d1o0wa2, d1o0wb1, d1o0wb2, d1o50a1, d1o50a2,
 d1o6val, d1o6va2, d1o7ga1, d1o7ga2, d1o97d1, d1o97d2, d1obba1, d1obba2,
 d1obzb1, d1obzb2, d1oe7a1, d1oe7a2, d1oe8b1, d1oe8b2, d1ogad1, d1ogad2,
 d1ogae1, d1ogae2, d1ogmx1, d1ogmx2, d1oi1a1, d1oi1a2, d1oipa1, d1oipa2,
 d1oizal, d1oiza2, d1okta1, d1okta2, d1olla1, d1olla2, d1on2a1, d1on2a2,
 d1on3a1, d1on3a2, d1on3e1, d1on3e2, d1ooyal, d1oooya2, d1ooyb1, d1ooyb2,
 d1or7a1, d1or7a2, d1or7b1, d1or7b2, d1orb_1, d1orb_2, d1osp11, d1osp12,
 d1ov3a1, d1ov3a2, d1ovna1, d1ovna2, d1ovnb1, d1ovnb2, d1owl1a1, d1owl1a2,
 d1oxja1, d1oxja2, d1oxsc1, d1oxsc2, d1oxva1, d1oxva2, d1p1da1, d1p1da2,
 d1pfqa1, d1pfqa2, d1pgs_1, d1pgs_2, d1pii_1, d1pii_2, d1pina1, d1pina2,
 d1pn9a1, d1pn9a2, d1pnf_1, d1pnf_2, d1pprml, d1pprm2, d1puoa1, d1puoa2,
 d1puob1, d1puob2, d1q16a1, d1q16a2, d1q1bal, d1q1ba2, d1q1ca1, d1q1ca2,
 d1q1pal, d1q1pa2, d1q4ga1, d1q4ga2, d1q7za1, d1q7za2, d1qdlb1, d1qdlb2,
 d1qh4a1, d1qh4a2, d1qksa1, d1qksa2, d1qmga1, d1qmga2, d1qneb1, d1qneb2,
 d1qnf_1, d1qnf_2, d1qnna1, d1qnna2, d1qr0a1, d1qr0a2, d1qsa1, d1qsa2,
 d1qxmal, d1qxma2, d1qyab1, d1qyab2, d1r17a1, d1r17a2, d1r27a1, d1r27a2,
 d1r4sa1, d1r4sa2, d1rc9a1, d1rc9a2, d1reqd1, d1reqd2, d1rj9a1, d1rj9a2,
 d1rjya1, d1rjya2, d1rl6a1, d1rl6a2, d1rm6a1, d1rm6a2, d1rm6b1, d1rm6b2,
 d1rqpa1, d1rqpa2, d1rrha1, d1rrha2, d1rwza1, d1rwza2, d1rx0a1, d1rx0a2,
 d1rxza1, d1rxza2, d1rzhh1, d1rzhh2, d1rzpc1, d1rzpc2, d1sdwa1, d1sdwa2,
 d1se4_1, d1se4_2, d1sgma1, d1sgma2, d1sh5a1, d1sh5a2, d1sjda1, d1sjda2,
 d1sjdb1, d1sjdb2, d1skz_1, d1skz_2, d1sli_1, d1sli_2, d1sqga1, d1sqga2,
 d1st0a1, d1st0a2, d1svb_1, d1svb_2, d1szna1, d1szna2, d1t0fa1, d1t0fa2,
 d1t15a1, d1t15a2, d1t1ea1, d1t1ea2, d1t3qa1, d1t3qa2, d1t3qb1, d1t3qb2,
 d1t3qc1, d1t3qc2, d1t56a1, d1t56a2, d1t6ca1, d1t6ca2, d1t6ka1, d1t6ka2,
 d1t6sal, d1t6sa2, d1t7val, d1t7va2, d1ti6a1, d1ti6a2, d1ti6b1, d1ti6b2,
 d1tjeal, d1tjea2, d1tjgl1, d1tjgl2, d1tjla1, d1tjla2, d1tol1a1, d1tol1a2,
 d1tqya1, d1tqya2, d1tqyb1, d1tqyb2, d1tuaa1, d1tuaa2, d1tvfa1, d1tvfa2,

d1txgal, d1txga2, d1ty0a1, d1ty0a2, d1u00a1, d1u00a2, d1u0va1, d1u0va2,
d1u2ca1, d1u2ca2, d1u3ca1, d1u3ca2, d1u5pa1, d1u5pa2, d1u8va1, d1u8va2,
d1uasal, d1uasa2, d1ud9a1, d1ud9a2, d1uekal, d1ueka2, d1umdb1, d1umdb2,
d1umwa1, d1umwa2, d1uok_1, d1uok_2, d1upsa1, d1upsa2, d1uvqa1, d1uvqa2,
d1uxgal, d1uxga2, d1uxy_1, d1uxy_2, d1uypal, d1uyapa2, d1v0ea1, d1v0ea2,
d1v1oa1, d1v1oa2, d1v2aa1, d1v2aa2, d1v54b1, d1v54b2, d1v57a1, d1v57a2,
d1v5val, d1v5va2, d1v6wa1, d1v6wa2, d1v8ca1, d1v8ca2, d1vcia1, d1vcia2,
d1vin_1, d1vin_2, d1vmaa1, d1vmaa2, d1vzial, d1vzia2, d1vzya1, d1vzya2,
d1w5fa1, d1w5fa2, d1wd3a1, d1wd3a2, d1wejh1, d1wejh2, d1wf3a1, d1wf3a2,
d1wmdal, d1wmnda2, d1wopa1, d1wopa2, d1woqal, d1woqa2, d1wpca1, d1wpca2,
d1xjval, d1xjva2, d1xo0a1, d1xo0a2, d1xqhal, d1xqha2, d1xsza1, d1xsza2,
d1xtial, d1xtia2, d1xuuua1, d1xuuua2, d1y4wa1, d1y4wa2, d1y88a1, d1y88a2,
d2eifal, d2eifa2, d2fbjh1, d2fbjh2, d2g3pa1, d2g3pa2, d2napa1, d2napa2,
d2pgd_1, d2pgd_2, d2pspa1, d2pspa2, d3hada1, d3hada2, d3hsc_1, d3hsc_2,
d5r1ra1, d5r1ra2, d6ldh_1, d6ldh_2, d7acn_1, d7acn_2, d7taa_1, d7taa_2.

MD_chains (428) : Multi-domain proteins each containing 2 domains, along with the chain identifier at the end of the *PDB* code.

11gsa, 1a4ib, 1a8d_, 1a8h_, 1a8l_, 1a8p_, 1abwa, 1af0a, 1af7_, 1afa1, 1afwb,
1akl_, 1amm_, 1aqh_, 1aqkl, 1avaa, 1aw7a, 1b0na, 1b1ba, 1b2ra, 1b3bc, 1b43a,
1b71a, 1b8aa, 1b8pa, 1b9ka, 1b9wa, 1bg0_, 1bgva, 1bheta, 1bif_, 1bli_, 1bqub,
1bw9a, 1c1aa, 1c1el, 1c2aa, 1c5ka, 1c8ua, 1c9ya, 1cal_, 1cb6a, 1ccza, 1cdy_,
1cf9a, 1cfb_, 1chma, 1cjdb, 1clc_, 1coja, 1cpo_, 1cuna, 1cvra, 1czya, 1d2oa,
1dd3a, 1dfx_, 1dhka, 1dkxa, 1dl5a, 1dmr_, 1duga, 1duvg, 1duza, 1dvpa, 1dxrh,
1dyka, 1dyqa, 1dzfa, 1el1ca, 1el1cb, 1e3oc, 1e42a, 1e5ta, 1e71a, 1eara, 1eb0a,
1ebha, 1ec9d, 1ecfa, 1ecfb, 1edha, 1eeja, 1eema, 1eerb, 1eg9a, 1ehda, 1eila,
1ek4a, 1ekxa, 1emd_, 1enfa, 1epfa, 1epfb, 1esl_, 1eu3a, 1evka, 1ewca, 1ewfa,
1f0ya, 1f1bb, 1f1ha, 1f1ra, 1f1ua, 1f20a, 1f8ab, 1fcga, 1fnla, 1fnua, 1fp2a,
1fpoa, 1ftra, 1fv1b, 1fw1a, 1fx1a, 1g1qa, 1g38a, 1g5aa, 1g61a, 1g87b, 1g8ka,
1g97a, 1giqa, 1gl4a, 1glpa, 1gmua, 1gmuc, 1gqia, 1gqza, 1gsa_, 1gsea, 1gsma,
1gupa, 1gv2a, 1gv3a, 1h03p, 1h1oa, 1h1pb, 1h6ta, 1h72c, 1h8pa, 1h9ra, 1hbmb,
1hf8a, 1hfel, 1hm9a, 1hna_, 1hpuia, 1ht6a, 1hw1a, 1hw5a, 1hx6b, 1hyob, 1ilaa,
1i1ga, 1i7na, 1i7pa, 1i8da, 1ig0a, 1ig0b, 1ig3a, 1ihga, 1ii2a, 1iow_, 1iqca,
1isza, 1itkb, 1iyha, 1iz4a, 1iz6a, 1iz9a, 1j09a, 1j11a, 1j3na, 1j8mf, 1jaka,
1jdc_, 1jfla, 1jhda, 1jhfa, 1jlva, 1jpna, 1js1x, 1js4a, 1ju3a, 1k0ma, 1k0mb,
1k8kd, 1k8wa, 1k92a, 1kbva, 1khia, 1kkcx, 1klua, 1klub, 1kqfb, 1ks9a, 1ktba,
1kv9a, 1kwma, 1ky6a, 1kzqa, 111fb, 113ka, 113sa, 116xa, 117ra, 11am_, 1lara,
1lbu_, 1l11a, 1ll1da, 1lr7a, 1lsla, 1lu9a, 1ly2a, 1m0ua, 1mlje, 1mlkg, 1mlta,
1m2tb, 1m3ya, 1m5ha, 1m6za, 1mdl_, 1mgta, 1mixa, 1ml1da, 1mp9a, 1mpga, 1ms5a,
1mxda, 1mzya, 1nlea, 1nlic, 1nlsa, 1n2aa, 1n5wa, 1n5wb, 1n5wc, 1n63b, 1n67a,
1ne9a, 1nija, 1nkr_, 1nm8a, 1np3a, 1np7a, 1npya, 1npyb, 1nr0a, 1ntyia, 1nu5a,
1nvma, 1nyta, 1nzoa, 1o0sa, 1o0wa, 1o0wb, 1o50a, 1o6va, 1o7ga, 1o97d, 1obba,
1obzb, 1oe7a, 1oe8b, 1ogad, 1ogae, 1ogmx, 1oi1a, 1oipa, 1oiza, 1okta, 1olla,
1on2a, 1on3a, 1on3e, 1ooya, 1ooyb, 1or7a, 1or7b, 1orb_, 1ospl, 1ov3a, 1ovna,
1ovnb, 1owlia, 1oxjxa, 1oxsc, 1oxva, 1p1da, 1pfqa, 1pgs_, 1pii_, 1pina, 1pn9a,
1pnf_, 1pprm, 1puoa, 1puob, 1q16a, 1q1ba, 1q1ca, 1q1pa, 1q4ga, 1q7za, 1qd1b,
1qh4a, 1qksa, 1qmga, 1qnbe, 1qnf_, 1qnna, 1qr0a, 1qsaa, 1qxma, 1qyab, 1r17a,
1r27a, 1r4sa, 1rc9a, 1reqd, 1rj9a, 1rjya, 1rl16a, 1rm6a, 1rm6b, 1rqpa, 1rrha,
1rwza, 1rx0a, 1rxza, 1rzhh, 1rzpc, 1sdwa, 1se4_, 1sgma, 1sh5a, 1sjda, 1sjdb,

1skz_, 1sli_, 1sqga, 1st0a, 1svb_, 1szna, 1t0fa, 1t15a, 1tlea, 1t3qa, 1t3qb,
 1t3qc, 1t56a, 1t6ca, 1t6ka, 1t6sa, 1t7va, 1ti6a, 1ti6b, 1tjea, 1tjgl, 1tjla,
 1tola, 1tqya, 1tqyb, 1tuua, 1tvfa, 1txga, 1ty0a, 1u00a, 1u0va, 1u2ca, 1u3ca,
 1u5pa, 1u8va, 1uasa, 1ud9a, 1ueka, 1umdb, 1umwa, 1uok_, 1upsa, 1uvqa, 1uxga,
 1uxy_, 1uypa, 1v0ea, 1v1oa, 1v2aa, 1v54b, 1v57a, 1v5va, 1v6wa, 1v8ca, 1vcaa,
 1vin_, 1vmma, 1vzia, 1vzya, 1w5fa, 1wd3a, 1wejh, 1wf3a, 1wmda, 1wopa, 1woqa,
 1wpca, 1xjva, 1xo0a, 1xqha, 1xsza, 1xtia, 1xuu, 1y4wa, 1y88a, 2eifa, 2fbjh,
 2g3pa, 2napa, 2pgd_, 2pspa, 3hada, 3hsc_, 5rlra, 6ldh_, 7acn_, 7taa_.

1D_homs (261) : Single domain Homologues of MD_doms; belong to the same SCOP class, but exist independently.

d101m_	d1a4ra_	d1a53_	d1aa2_	d1abq_	d1ae9a_	d1aera_
d1ah7_	d1alq_	d1ame_	d1aohb_	d1arl_	d1axb_	d1b07a_
d1b0b_	d1b0ua_	d1b13a_	d1b1ya_	d1b6e_	d1b88a_	d1bb9_
d1bd7a_	d1bfea_	d1bg4_	d1bjre_	d1bm9_	d1bqca_	d1btn_
d1c4rg_	d1c7za_	d1cef_	d1cem_	d1cen_	d1cfwa_	d1ci8a_
d1cska_	d1cwya_	d1cyw_	d1d0ba_	d1d0la_	d1d8ua_	d1dil_
d1d13b_	d1dm1a_	d1dsl_	d1dtja_	d1dtp_	d1dv8a_	d1dy6a_
d1dypa_	d1e5ja_	d1e8tb_	d1ea7a_	d1eaza_	d1eca_	d1eceaa_
d1edg_	d1edmb_	d1eeub_	d1egza_	d1ek0a_	d1elka_	d1erjc_
d1eur_	d1f0ma_	d1f3oa_	d1f5oa_	d1f6bb_	d1f8ca_	d1faoa_
d1fgya_	d1fh1a_	d1fica_	d1fm5a_	d1fna_	d1fptra_	d1fuka_
d1fxxa_	d1fyyna_	d1g1ca_	d1g24a_	d1g43a_	d1g68a_	d1g6ha_
d1g9oa_	d1ga0a_	d1gbg_	d1gcpb_	d1geqb_	d1ghsa_	d1gv5a_
d1gwna_	d1gz2a_	d1h12a_	d1h1na_	d1h3lb_	d1h4pa_	d1h97a_
d1hbg_	d1hh8a_	d1hiza_	d1hkfa_	d1h1b_	d1hpt_	d1hq8a_
d1hura_	d1hxia_	d1l1ja_	d1l1na_	d1i3va_	d1i4na_	d1i71a_
d1i941_	d1i94q_	d1i9ea_	d1ia7a_	d1iona_	d1iq7a_	d1itha_
d1j2aa_	d1j53a_	d1jc9a_	d1jfma_	d1jg1a_	d1jhea_	d1ji0a_
d1jj7a_	d1jl1na_	d1jo8a_	d1jqqb_	d1jvwa_	d1k38a_	d1k9ba_
d1k9id_	d1kawa_	d1kdka_	d1knma_	d1ks8a_	d1kula_	d1ku7a_
d1kw4a_	d1l1ya_	d1l5ta_	d1l8ja_	d1lf8_	d1luza_	d1lyva_
d1m6ka_	d1mai_	d1mhqb_	d1mija_	d1mjc_	d1msba_	d1mt0a_
d1mvea_	d1myt_	d1n4ob_	d1ncna_	d1nega_	d1neu_	d1npsa_
d1npua_	d1nrfa_	d1ntea_	d1nz6b_	d1o4ya_	d1o4zb_	d1o7va_
d1od7a_	d1odza_	d1oj6b_	d1ojqa_	d1p2xa_	d1p7id_	d1p9ga_
d1pal1a_	d1pbk_	d1pht_	d1pkao_	d1puja_	d1pw3a_	d1pz7a_
d1q21_	d1q3oa_	d1q9ba_	d1qaua_	d1qdda_	d1qg2a_	d1qhla_
d1qnoa_	d1qnxa_	d1qqea_	d1quo_c_	d1qvaa_	d1qxwa_	d1qzna_
d1r6va_	d1r8me_	d1r9ha_	d1rt8a_	d1rzxa_	d1s02_	d1sgwa_
d1sig_	d1skf_	d1smfa_	d1smoa_	d1smxa_	d1sq9a_	d1sulb_
d1t1ga_	d1t4ob_	d1t5ia_	d1t6na_	d1te5a_	d1ten_	d1thm_
d1tjca_	d1tpka_	d1tq6a_	d1tu9a_	d1u1ka_	d1u21a_	d1ujpa_
d1umoa_	d1umza_	d1unpa_	d1ur0b_	d1ur2a_	d1uuqa_	d1v5ca_
d1vcub_	d1vera_	d1vg8a_	d1vjza_	d1vkaa_	d1vp6a_	d1w0ha_
d1wl1da_	d1w30b_	d1w3ha_	d1wcha_	d1wd5a_	d1wlja_	d1xa1b_
d1xaua_	d1xc4a_	d1xmja_	d1xt0b_	d1xyza_	d1yfoa_	d2bema_
d2cuab_	d2his_	d2rmca_	d2semb_	d3ovo_	d3raba_	d4mata_
d4vhba_	d6rxn_					

1D_uniq (151) : Control dataset of Single domain proteins (No multi-domain Homologs found till date in SCOP families v 1.75).

d1bdb_, d1bdo_, d1bea_, d1bff_, d1bgc_, d1bgf_, d1bgp_, d1bhe_,
d1bhp_, d1bj7_, d1bk0_, d1bk9_, d1bky_, d1bm8_, d1bqk_, d1bs9_,
d1bvl_, d1bx7_, d1by2_, d1bzm_, d1c3d_, d1c52_, d1c53_, d1cbs_,
d1ccr_, d1cor_, d1cot_, d1cpq_, d1cwn_, d1cxc_, d1dhn_, d1din_,
d1doi_, d1dun_, d1enj_, d1ezm_, d1f3z_, d1fas_, d1frd_, d1fus_,
d1fxd_, d1gai_, d1gpr_, d1gs1_, d1gvp_, d1hep_, d1hmr_, d1hoe_,
d1hpi_, d1huw_, d1hyp_, d1icm_, d1idk_, d1iob_, d1jdw_, d1jer_,
d1jug_, d1kdi_, d1koe_, d1lci_, d1lis_, d1lki_, d1lml_, d1lz6_,
d1mdc_, d1mho_, d1mn1_, d1msc_, d1ncx_, d1nfp_, d1nox_, d1npc_,
d1nsj_, d1ntn_, d1nxb_, d1oaa_, d1onc_, d1orc_, d1pch_, d1pdo_,
d1pgx_, d1pmi_, d1pmy_, d1pne_, d1poc_, d1prn_, d1puc_, d1pvl_,
d1r69_, d1rds_, d1rkd_, d1rmg_, d1rro_, d1rss_, d1rtu_, d1sur_,
d1tca_, d1tgj_, d1tg1_, d1thg_, d1tia_, d1tib_, d1tif_, d1tig_,
d1tml_, d1tsp_, d1vcc_, d1vh_, d1vie_, d1vjw_, d1vns_, d1vpe_,
d1wad_, d1wba_, d1wer_, d1whi_, d1xer_, d1xib_, d1yea_, d1zrm_,
d2a0b_, d2abk_, d2acy_, d2bce_, d2c2c_, d2cbp_, d2cts_, d2cut_,
d2cy3_, d2erl_, d2fua_, d2lbd_, d2mcm_, d2pii_, d2plc_, d2por_,
d2prd_, d2ptd_, d2pth_, d2sn3_, d2sns_, d3cbh_, d3cla_, d3dni_,
d3eng_, d3i18_, d3kv_, d3lip_, d3nul_, d3vub_, d4bc1_, d4mt2_,
d5pal_, d7pcy_.

PPI_Obligate (268) : Obligate Protein-Protein Interaction dataset from the PDB for comparison against domain-domain interfaces.

12as, 1a3c, 1a4i, 1aa7, 1ad3, 1ade, 1af5, 1afw, 1ajs, 1aor, 1aoz, 1aq6, 1auo,
1b16, 1b3a, 1b5e, 1b67, 1b8a, 1b8j, 1b8z, 1b9h, 1bam, 1bd0, 1bdm, 1bif, 1biq,
1bis, 1bk5, 1bkp, 1brw, 1bsl, 1bsr, 1buo, 1bxg, 1byf, 1byi, 1byk, 1c4k, 1cd8,
1chm, 1cmb, 1cnz, 1coz, 1csh, 1ctt, 1czj, 1d0c, 1d2f, 1d9c, 1daa, 1db3, 1dbq,
1dcf, 1dor, 1dos, 1dpg, 1dqn, 1dqs, 1dxg, 1elz, 1e4m, 1e58, 1e6b, 1e6u, 1e7n,
1ebh, 1ecy, 1elu, 1ew3, 1ex0, 1eyv, 1f3h, 1f6b, 1f89, 1fc4, 1fg7, 1fi4, 1fip,
1fjj, 1fp1, 1fp2, 1fp5, 1fro, 1g5c, 1g60, 1g81, 1gd9, 1glj, 1gnw, 1gqi, 1gt3,
1gta, 1gte, 1gu7, 1gvj, 1gvp, 1gy6, 1gyo, 1h16, 1h1y, 1h7e, 1h9r, 1hf2, 1hpx,
1hq8, 1hss, 1hw1, 1hxp, 1hzj, 1i07, 1i24, 1i2k, 1i4u, 1i52, 1i69, 1i86, 1imb,
1is3, 1iup, 1ivy, 1ix9, 1iyz, 1j3b, 1j5p, 1j98, 1jd0, 1jdw, 1jhd, 1jhg, 1jm6,
1jsc, 1jsg, 1jtv, 1jye, 1jys, 1k04, 1k3y, 1k51, 1k66, 1k94, 1kc7, 1kcm, 1kic,
1kjq, 1kkj, 1kll, 1kly, 1knq, 1kpf, 1ks0, 1kta, 1ktb, 1kzh, 1lc5, 1lf1, 1lom,
1lxe, 1m6p, 1m7y, 1mh9, 1mkb, 1mo9, 1mor, 1mqi, 1mr8, 1mvc, 1mze, 1n1b, 1n26,
1n2s, 1n55, 1n57, 1n7f, 1nf9, 1nkd, 1nn5, 1noj, 1nox, 1ns5, 1nsj, 1nsy, 1o8b,
1oaa, 1oac, 1oc2, 1oh0, 1oi6, 1oke, 1on2, 1oqz, 1ov3, 1oyb, 1oys, 1p5f, 1pfq,
1pre, 1psr, 1puc, 1pv9, 1pxf, 1q3o, 1q4g, 1q6o, 1qfh, 1qhi, 1qi9, 1qj4, 1qjb,
1qkk, 1qks, 1qr2, 1qvz, 1qyc, 1r2f, 1r31, 1r3s, 1r7a, 1rdo, 1reg, 1rrm, 1ryt,
1s0a, 1s3e, 1sb8, 1se8, 1ses, 1sjy, 1smn, 1smt, 1sox, 1t0i, 1t5h, 1tc1, 1tox,
1trb, 1trk, 1tw3, 1ual, 1uby, 1ui8, 1ukg, 1utg, 1v25, 1v2z, 1vfr, 1vhz, 1vls,
1vok, 1xso, 2arc, 2gsa, 2hdh, 2ilk, 2mjp, 2nac, 2ohx, 2spc, 2tct, 2tgi, 3dap,
3grs, 3lad, 3ssi, 3vub, 5csm, 5rub, 8prk, 9wga.

Supplementary References

1. A. Hentati *et al.*, *Ann Neurol* 39, 295 (Mar, 1996).
2. C. A. Gough, T. Gojobori, T. Imanishi, *Proteins* 66, 69 (Jan 1, 2007).
3. R. Rajasekaran, C. Sudandiradoss, C. G. Doss, R. Sethumadhavan, *Genomics* 90, 447 (Oct, 2007).
4. P. A. Ory, M. R. Clark, E. E. Kwoh, S. B. Clarkson, I. M. Goldstein, *J Clin Invest* 84, 1688 (Nov, 1989).
5. F. Ali-Osman, O. Akande, G. Antoun, J. X. Mao, J. Buolamwini, *J Biol Chem* 272, 10004 (Apr 11, 1997).